

ПОШИРЕННЯ ЦИРКУЛЯРНО ПОЛЯРИЗОВАНИХ КОНІЧНИХ ПУЧКІВ З ДРОБОВИМ ТОПОЛОГІЧНИМ ЗАРЯДОМ КРИЗЬ ОДНООСНИЙ КРИСТАЛ

Розв'язано векторне хвильове рівняння для конічних пучків з дробовим топологічним зарядом та гаусовою огинаючою. Показано, що навіть невелике відхилення топологічного заряду від цілого значення, приводить до порушення осьової симетрії пучка – центр тяжіння зміщується відносно осі пучка. При поширенні такого циркулярно поляризованого пучка в одноосному кристалі це приводить до розщеплювання і зсуву подвійного оптичного вихору в ортогонально поляризованій компоненті пучка і руйнування центральної поляризаційної омбіліки у картині розподілу поляризації.

Ключові слова: Гаусова огинаюча, ортогонально поляризована компонента, спектр фотолюмінесценції.

Решено векторное волновое уравнение для конических пучков с дробным топологическим зарядом и гауссовой огибающей. Показано, что даже небольшое отклонение топологического заряда от целого значения, приводит к нарушению осевой симметрии пучка – центр тяжести смещается относительно оси пучка. При распространении такого циркулярно поляризованого пучка в одноосном кристалле это приводит к расщеплению и сдвигу двойного оптического вихря в ортогонально поляризуемой компоненте пучка и разрушения центральной поляризационной омбилики в картине распределения поляризации.

Ключевые слова: Гауссова огибающая, ортогонально поляризуемая компонента, спектр фотолюминесценции.

In the article the solution of vector wave equation was obtained for conical beams with a fractional topological charge and Gaussian envelope. It was found that even small deviation of topological charge from an integer value results in violation of axial symmetry of the beam – the centre of gravity is displaced relative to the beam axis. The propagation of such a circular polarized beam in a uniaxial crystal results in splitting the double optical vortex in orthogonal polarized component of beam so that the central polarization singularity in the polarization distribution pattern is broken down.

Keywords: Gaussian envelope, orthogonal polarized component, photoluminescence spectra.

На сьогодні опубліковано багато праць [1-6], присвячених поширенню різних типів осесиметричних пучків у одноосних кристалах. Це пучки Лагера–Гауса (включаючи фундаментальний пучок Гауса), Ерміта–Гауса і Бесселя–Гауса. Для усіх цих пучків, якщо вісь пучка і кристала збігалися і на вході у кристал напрямлена хвиля циркулярної поляризації, то на осі формувалася вироджена поляризаційна омбіліка спірального типу (оточена кільцевими омбіліками), яка відповідала подвійному оптичному вихору в ортогонально поляризованій компоненті пучка, що генерується кристалом. Генерація цього вихору у кристалі виникає

унаслідок виконання закону збереження повного кутового моменту відносно осі симетрії кристала [7].

Оскільки змінюється спіновий момент, пов'язаний з поляризацією пучка, то це приводить до зміни орбітального моменту, пов'язаного з топологічним зарядом сформованою ортогонально циркулярно поляризованою компоненті. Подвійний оптичний вихор можна легко порушити, якщо нахилити вісь пучка відносно осі кристала. При малих кутах (<0,1 градуса) центральна омбіліка розпадається на два "лимони", а що оточує її кільцева омбіліка – на пару "монстр"–"зірка" або "лимон"–"зірка".

Подальше збільшення кута нахилу осі пучка приводить до того, що топологічний заряд циркулярно поляризованих компонент стає однаковий, а додатковий орбітальний момент відповідає зсуву центру тяжіння пучка [8,9].

В результаті цих досліджень виникає питання: що відбуватиметься при співісному поширенні пучка, центр тяжіння якого зміщений відносно осі симетрії пучка, в одноосному кристалі уздовж його осі. Одним з таких пучків є конічний пучок гауса з напівцілим топологічним зарядом, який формується після проходження пучка через комп'ютерно-синтезовану голограму з дробовим топологічним зарядом і аксикон [10].

Тому метою даної роботи з'явилось теоретичне дослідження особливостей проходження конічного пучка з дробовим топологічним зарядом через одноосний кристал уздовж його осі.

Розглянемо поширення параксіального пучка уздовж осі Oz одноосного анізотропного кристала з тензором діелектричної проникності $\hat{\epsilon} = \text{diag}(\epsilon, \epsilon, \epsilon_3)$.

Оскільки у параксіальному випадку значення подовжньої компоненти, у порівнянні з поперечним полем зовсім незначне, то електричне поле параксіального пучка у кристалі можна представити у вигляді

$$\mathbf{E} \approx \tilde{\mathbf{E}}_{\perp} = \mathbf{E}_{\perp}(x, y, z) \exp\{i(\omega t - k_0 z)\},$$

де $\mathbf{E}_{\perp}(x, y, z)$ – комплексна амплітуда, $k_0 = 2\pi\sqrt{\epsilon}/\lambda$ – хвилеве число звичайної хвилі.

Параксіальне рівняння для такого середовища запишеться у вигляді [4]:

$$\left(\nabla_{\perp}^2 - 2ik_0 \frac{\partial}{\partial z}\right) \mathbf{E}_{\perp} = \frac{\Delta\epsilon}{\epsilon_3} \nabla_{\perp}(\nabla_{\perp} \mathbf{E}_{\perp}), \quad (1)$$

де $\Delta\epsilon = \epsilon_3 - \epsilon$.

У циркулярно поляризованому базисі $E_+ = E_x - iE_y$, $E_- = E_x + iE_y$ отримуються співвідношення:

$$\begin{aligned} &\left(4 \frac{\partial^2}{\partial u \partial v} - 2ik_0 \frac{\partial}{\partial z}\right) E_+ = \\ &= 2 \frac{\Delta\epsilon}{\epsilon_3} \frac{\partial}{\partial u} \left(\frac{\partial}{\partial v} E_+ + \frac{\partial}{\partial u} E_-\right), \end{aligned} \quad (2)$$

$$\begin{aligned} &\left(4 \frac{\partial^2}{\partial u \partial v} - 2ik_0 \frac{\partial}{\partial z}\right) E_- = \\ &= 2 \frac{\Delta\epsilon}{\epsilon_3} \frac{\partial}{\partial v} \left(\frac{\partial}{\partial v} E_+ + \frac{\partial}{\partial u} E_-\right), \end{aligned} \quad (3)$$

при заміні змінних у співвідношенні (1) на

$$u = x + iy, \quad v = x - iy,$$

$$\partial_u \equiv \partial_x - i\partial_y, \quad \partial_v \equiv \partial_x + i\partial_y$$

Для того, щоб привести рівняння (2), (3) до рівняння Гельмгольца, виберемо два приватні рішення:

1) для звичайного модового пучка

$$E_+^0 = w_0 \frac{\partial}{\partial u} \Psi_0, \quad E_-^0 = -w_0 \frac{\partial}{\partial v} \Psi_0, \quad (4)$$

2) для незвичайного модового пучка

$$E_+^e = w_0 \frac{\partial}{\partial u} \Psi_e, \quad E_-^e = w_0 \frac{\partial}{\partial v} \Psi_e, \quad (5)$$

де $\Psi_{0,e}$ – утворююча функція, w_0 – деякий параметр пучка, що має розмірність довжини, який ми визначимо пізніше. Підставляючи (4) і (5) у (2), (3) отримаємо, що функція $\Psi_{0,e}$ задовольняє рівнянню

$$\left(\nabla_{\perp}^2 - 2ik_{0,e} \frac{\partial}{\partial z}\right) \Psi_{0,e} = 0, \quad (6)$$

де $k_e = \left(n_3^2/n_0^2\right)k_0$. Виберемо утворюючу функцію у вигляді [10]

$$\Psi_{0,e} = \int_0^{2\pi} e^{iq\phi} \exp\left\{\frac{ik_{\perp}}{2\sigma_{0,e}}(ue^{-i\phi} + ve^{i\phi})\right\} d\phi \times \quad (7)$$

$$\times \mathcal{N}_{0,e} \mathcal{G}_{0,e} = \mathcal{N}_{0,e} \mathcal{G}_{0,e} \tilde{\mathcal{F}}_{q,0,e},$$

$\mathcal{G}_{0,e} = \exp\left(-\frac{uv}{w_0^2 \sigma_{0,e}}\right) / \sigma_{0,e}$ – Гаусова огинаюча,

ча, $\sigma_{0,e} = 1 - iz/z_{0,e}$, $z_{0,e} = k_{0,e} w_0^2 / 2$ – довжина Релея звичайного і незвичайного пучків,

$$\tilde{\mathcal{F}}_{q,0,e} = \int_0^{2\pi} e^{iq\phi} \exp\left\{\frac{ik_{\perp}}{2\sigma_{0,e}}(ue^{-i\phi} + ve^{i\phi})\right\} d\phi =$$

$$= \int_0^{2\pi} e^{iq\phi} \exp\left\{\frac{ik_{\perp}}{\sigma_{0,e}} r \cos(\phi - \varphi)\right\} d\phi,$$

w_0 – перетяжка пучка, $\mathcal{N}_{0,e} = \exp\left\{\frac{k_{\perp}^2 w_0^2}{4\sigma_{0,e}}\right\}$ –

множник нормування, q – довільне число.

Якщо ми підставимо утворюючу функцію (7) у співвідношення (4), (5), то отримаємо неоднорідну поляризацію на входному торці кристалу, яке дуже складно отримати експериментально.

З іншого боку, розв'язком рівняння Гельмгольца (6) буде не лише функція твірної, але й інтеграл від неї. Візьмемо за нову функцію інтеграл від (7) по змінній u , тоді компоненти поля набудуть вигляду:

$$E_{+,0}^q = \int \partial_u \Psi_0 du = \Psi_0, \quad E_{-,0}^q = -\int \partial_v \Psi_0 du, \quad (8)$$

$$E_{+,e}^q = \int \partial_u \Psi_e du = \Psi_e, \quad E_{-,e}^q = \int \partial_v \Psi_e du, \quad (9)$$

Компоненти полів у площині мають однаковий вигляд. Тому, підсумувавши поля (8) і (9), отримаємо однорідно право циркулярно поляризований на вході у кристал конічний пучок, який нескладно отримати експериментально.

Для формування однорідно ліво циркулярно поляризованого на вході пучка потрібно взяти нову утворюючу функцію у вигляді інтеграла по змінній v .

Оскільки похідні від вихідної утворюючої функції можна записати як

$$\partial_u \Psi_{0,e} = \frac{\mathcal{N}_{0,e} \mathcal{G}_{0,e}}{\sigma_{0,e}} \left\{ \frac{ik_{\perp}}{2} \tilde{\mathcal{F}}_{q-1,0,e} - \frac{v}{w_0^2} \tilde{\mathcal{F}}_{q,0,e} \right\}, \quad (10)$$

$$\partial_v \Psi_q = \frac{\mathcal{N}_{0,e} \mathcal{G}_{0,e}}{\sigma_{0,e}} \left\{ \frac{ik_{\perp}}{2} \tilde{\mathcal{F}}_{q+1,0,e} - \frac{u}{w_0^2} \tilde{\mathcal{F}}_{q,0,e} \right\}, \quad (11)$$

то інтеграл, що формує поле ортогонально поляризованої компоненти для полів (8) і (9), набере вигляду:

$$\int \partial_v \Psi_{q,0,e} du = 2\mathcal{N}_{0,e} \mathcal{G}_{0,e} e^{i(q+2)\varphi} \left\{ I_{1,0,e} - \frac{e^{i(q+1)\varphi}}{k_{\perp} z_{\perp}} I_{2,0,e} \right\}, \quad (12)$$

$$I_{1,0,e} = \int_0^{2\pi} e^{i(q+2)(\phi-\varphi)} \frac{e^{\frac{ik_{\perp}r}{\sigma_{0,e}} \cos(\phi-\varphi)}}{1 - R e^{i(\phi-\varphi)}} d\phi,$$

$$I_{2,0,e} = \int_0^{2\pi} e^{i(q+3)(\phi-\varphi)} \frac{e^{\frac{ik_{\perp}r}{\sigma_{0,e}} \cos(\phi-\varphi)}}{1 - R e^{i(\phi-\varphi)}} \times \left(\frac{e^{i2\varphi} \sigma_{0,e} k_{\perp} r}{2} e^{i(\phi-\varphi)} - \frac{1}{1 - R e^{i(\phi-\varphi)}} \right) d\phi,$$

де $R = r/z_{\perp}$, $z_{\perp} = k_{\perp} w_0^2 / 2$.

E_+ E_-

Для право циркулярно поляризованого на вході пучка поле в циркулярно поляризованому базисі набирає вигляду:

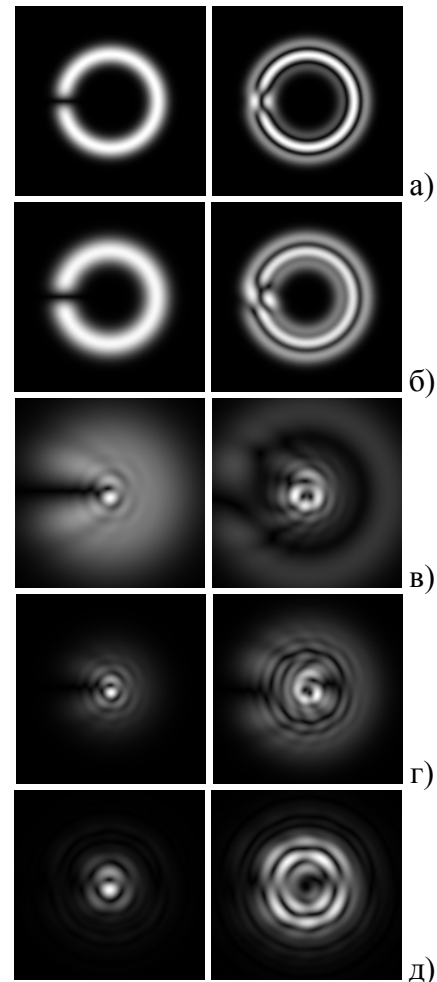


Рис.1 Розподіл інтенсивності в циркулярно поляризованих компонентах конічного пучка з уявним значенням $k_{\perp}=100000$, перетяжкою $w_0=100\mu\text{м}$ і топологічним зарядом 0,5 в кристалі LiNbO_3 довжиною z . Поперечні розміри: $z=10\mu\text{м}$, $r_{\text{max}}=2\text{мм}$ (а), $z=7\text{см}$, $r_{\text{max}}=2\text{мм}$ (б), $z=40\text{см}$, $r_{\text{max}}=3\text{мм}$ (в), $z=1\text{м}$, $r_{\text{max}}=5\text{мм}$ (г), $z=5\text{м}$, $r_{\text{max}}=18\text{мм}$ (д).

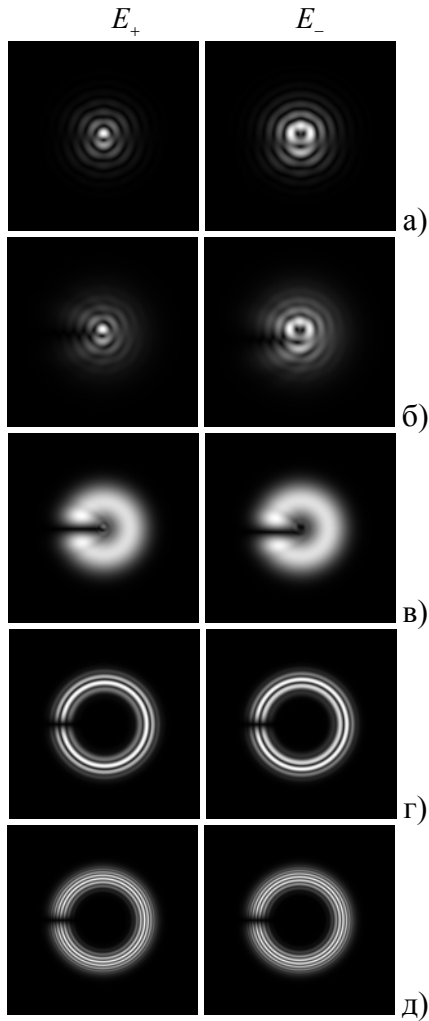


Рис. 2 Розподіл інтенсивності в циркулярно поляризованих компонентах кінцевого пучка з дійсним значенням $k_{\perp}=100000$, перетяжкою $w_0=100\text{мкм}$ і топологічним зарядом $0,5$ в кристалі LiNbO_3 довжиною z . Поперечні розміри: $z=10\text{мкм}$, $r_{\text{max}}=0,6\text{мм}$ (а); $z=1\text{см}$, $r_{\text{max}}=0,6\text{мм}$ (б), $z=40\text{см}$, $r_{\text{max}}=1,2\text{мм}$ (в), $z=1\text{м}$, $r_{\text{max}}=20\text{мм}$ (г), $z=2\text{м}$, $r_{\text{max}}=40\text{мм}$ (д).

$$E_+^q = \Psi_0 + \Psi_e, \quad (13)$$

$$E_-^q = 2e^{i(q+2)\varphi} \left[\mathcal{N}_e \mathcal{G}_e \left\{ I_{1,e} - \frac{e^{i(q+1)\varphi}}{k_{\perp} z_{\perp}} I_{2,e} \right\} - \mathcal{N}_0 \mathcal{G}_0 \left\{ I_{1,o} - \frac{e^{i(q+1)\varphi}}{k_{\perp} z_{\perp}} I_{2,o} \right\} \right]. \quad (14)$$

У загальному випадку параметр k_{\perp} можна вибрати довільно: дійсним, уявним і комплексним. Залежно від цього еволюція пучка протікає різним чином. На рис.1,2 представлена еволюція циркулярно поляризованих компонент таких пучків.

Для пучка з уявним значенням параметра k_{\perp} при малих довжинах кристала відмінність ліво циркулярно поляризованої компоненти полягає у наявності двох додаткових зовнішнього і внутрішнього кілець, що оточують центральне півкілець. При цьому у даній компоненті виникають два оптичних вихора, розташованих на кінцях центрального півкілець (рис.1б).

Подальше збільшення довжини приводить до розширення і розмиття цих кілець. При цьому у центрі пучка формується картина деформованих півкілець для право циркулярно поляризованої компоненти і складніша кільцеподібна структура з двома злегка зміщеними центральними вихорами в ліво циркулярно поляризованій компоненті пучка (рис.1в).

На великих довжинах кристала присутня лише центральна частина даної картини, на яку накладаються деформовані кільця, що виникають за рахунок інтерференції між звичайним і незвичайним пучками. У разі дійсного значення k_{\perp} поблизу вхідного торця кристала у компонентах формуються деформовані півкілець, що володіють площинною симетрією (рис.2а).

Топологічний заряд ліво циркулярно поляризованої компоненти при цьому на 2 одиниці більше, ніж в право циркулярно поляризованій компоненті. Збільшення довжини кристала приводить до деформації і замиванню півкілець (рис.2б) і формуванню зовнішнього півкілець довкола даної картини (рис.2в). При значних довжинах кристала в обидвох компонентах пучка виникає півкілець, побите кільцями інтерференції між звичайним і незвичайним пучками (рис.2г,д).

З аналізу рис1,2 видно, що хоча топологічний заряд правою і лівою циркулярних компонент відрізняється на 2 одиниці, але подвійний оптичний вихор не генерується на осі пучка.

Це пов'язано, мабуть, з відмінністю у положенні центру тяжіння і осі пучка. Цьому випадку відповідає розподіл поляризації в пучку на рис.3, з якого чітко видно, що осьова

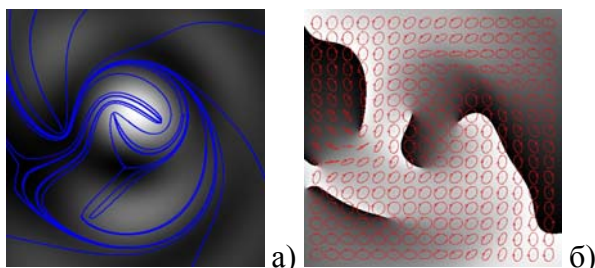


Рис. 3 Розподіл ліній, дотичних до великої півосі еліпса поляризації на фоні інтенсивності (а) і еліпсів поляризації на фоні кута повороту великої півосі еліпса поляризації (б) для конічного пучка з дійсним $k_{\perp}=100000$, перетяжкою $w_0=100\mu\text{м}$ і топологічним зарядом $0,5$ в кристалі LiNbO_3 довжиною $z=2\text{см}$; поперечні розміри $r_{\text{max}}=0,1\text{ мм}$.

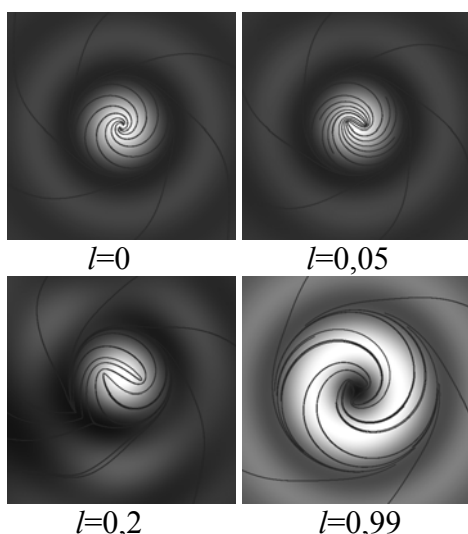


Рис. 4 Розподіл ліній, дотичних до великої півосі еліпса поляризації, на фоні інтенсивності для конічного пучка з дійсним $k_{\perp}=100000$, перетяжкою $w_0=100\mu\text{м}$ і топологічним зарядом l в кристалі LiNbO_3 довжиною $z=2\text{см}$; поперечні розміри $r_{\text{max}}=0,1\text{ мм}$.

вироджена омбіліка з топологічним індексом $+1$ розпадається на 2 "лимони" [11], а кільцева омбіліка – на "зірку" і "лимон"; наступна кільцева омбіліка розпадається на аналогічну пару "зірка"–"лимон".

Слід зазначити, що кожній поляризаційній омбіліці або S -точці (точка з циркулярною поляризацією) відповідає оптичний вихор в одній з циркулярно поляризованих компонент пучка.

Особливо зручно визначати положення поляризаційної сингулярності на картині розподілу азимута – кута повороту великої півосі еліпса поляризації відносно осі абсцис.

У цій картині положення омбіліки відповідає кінцю лінії, що розділяє чорний і білий колір, що на рис.3б (чорний колір відповідає азимуту $-\pi/2$, білий – $+\pi/2$). Для переконання того, що розвал центральної омбіліки пов'язаний із зміною топологічного заряду пучка вивчимо картину розподілу поляризаційних особливостей конічного пучка при різних значеннях топологічного заряду (рис.4).

Як видно з рис.4, навіть незначне відхилення величини топологічного заряду від цілого (порядка $0,01-0,05$) призводить до розвалу центральної омбіліки на два "лимони". Така невелика зміна топологічного заряду ще не приводить до розпаду кільцевої омбіліки ($l=0,05$), проте при збільшенні значення топологічного заряду дана омбіліка розпадається на пару "зірка"–"монстр" ($l=0,2$). Подальше збільшення топологічного заряду приводить до перетворення "монстра" у "лимон" і зсуву положень омбілік на рис.3.

Висновки

У конічному пучку з дробовим топологічним зарядом навіть невелика зміна величини топологічного заряду викликає зсув центру тяжіння відносно осі пучка, що приводить до розпаду центральної спіральної поляризаційної омбіліки з топологічним індексом $+1$, яка відповідає осесиметричному пучку, на два "лимони" з індексом кожного $+1/2$. Це відповідає спотворенню осесиметричних кілець у розподілі інтенсивності циркулярно поляризованих компонент і розпаду центрального подвійного оптичного вихору в ортогонально циркулярно поляризованій компоненті. Кільцева поляризаційна омбіліка з індексом 0 при відхиленні топологічного заряду від цілого значення більш ніж на $0,1$ розпадається на 2 омбіліки – "зірку" (індекс $-1/2$) і "монстр", або "лимон" (індекс $+1/2$). У результаті цих перетворень сумарний індекс пучка залишається незмінним.

Отже, сингулярний пучок, топологічний заряд якого генерується на спіральній фазовій пластинці, є вкрай нестійким, оскільки

ки експериментально неможливо реалізувати строгу однаковість висоти сходинок даної пластинки і довжини хвилі світла.

СПИСОК ЛІТЕРАТУРИ

1. Воляр А.В., Фадеева Т.А. Генерация сингулярных пучков в одноосных кристаллах // Оптика и спектроскопия. – 2003. – **94** (2). – С.264-274.
2. Ciattoni A., Crosingani B., Di Porto P. Vectorial theory of propagation in uniaxially anisotropic media // J. Opt. Soc. Am. A. – 2001. – **18** (7). – P.1656-1661.
3. Egorov Yu.A., Fadeyeva T.A., Volyar A.V. The fine structure of singular beams in crystals: colours and polarization // J. Opt. A: Pure Appl. Opt. – 2004. – **6** – P.S217–S228.
4. Воляр А.В., Фадеева Т.А. Пучки Лагерра-Гаусса с Комплексным и Действительным Аргументом в Одноосном Кристалле // Оптика и спектроскопия. – 2006. – **101** (3). – С.477-484.
5. Fadeyeva T.A., Volyar A.V. Extreme spin-orbit coupling in crystal-traveling paraxial beams // J. Opt. Soc. Am. A. – 2010. – **27**. (3). – P.381-389.
6. Fadeyeva T., Volyar A. Nondiffracting vortex-beams in a birefringent chiral crystal // Journ. Opt. Soc. of Am. A. – 2010. – **27**. (1). – P.13-20.
7. Ciattoni A., Cincotti G., Palma C. Angular momentum dynamics of a paraxial beam in a uniaxial crystal // Phys. Rev. E. – 2003. – **67**. – P.036618-1-10.
8. Fadeyeva T., Egorov Yu., Rubass A. et al. Quadrefringence of optical vortices in a uniaxial crystal // Journ. Opt. Soc. of Am. A. – 2008. – **25**. (7). – P. 1634-1641.
9. Fadeyeva T.A., Rubass A.F., Volyar A.V. Transverse shift of a high-order paraxial vortex-beam induced by a homogeneous anisotropic medium // Physical Review A. – 2009. – **79**. (5). – P.053815-1-12.
10. Fadeyeva T., Alexeyev C., Rubass A., Volyar A. Vector erf-Gaussian beams: fractional optical vortices and asymmetric TE and TM modes // Optics Letters. – 2012. – **37**. (9). – P.1397-1399.
11. Nye J.F. Natural Focusing and Fine Structure of Light: Caustics and Wave Dislocations – Bristol: Institute of Physics Publishing, 1999.